

用 TG-FTIR 研究 TNT 的热分解

王晓川 王 薇 徐雪霞 姜 燕 赵 林

(中国工程物理研究院化工材料研究所, 成都 610003)

摘要 用 TG-FTIR 技术研究了 2,4,6-三硝基甲苯(TNT)在高纯氮气和等速升温(10 °C/min)条件下的缓慢热分解行为, 测定了分解气体产物的组成。实验表明 TNT 在 224.16°C 时分解速度达到最大, 其主要分解产物为 1,3,5-三硝基苯和 CO₂。由此推断的 TNT 缓慢热分解过程、步骤以及 TNT 的热分解机理与 Shackelford 报道的一致。

关键词 2,4,6-三硝基甲苯(TNT) CSR 热分解 TG-FTIR

中图法分类号 0657

1 引言

2,4,6-三硝基甲苯(TNT)分子具有苯环的稳定结构, 硝基的对称分布使分子有较好的热稳定性, 比硝酸酯甚至某些硝胺还要好。炸药的热分解特性是由炸药的分子结构决定的, 分子结构的变化决定热分解的最终产物, 且热分解过程各有特色。Issa 等^[1]用红外光谱(IR)测定 TNT 的分子结构表明, 分子中存在 $\pi\text{-}\pi^*$ 和 $p\text{-}\pi$ 电子的结合, 分子具有活性对称中心而具有较好的热稳定性。这是由于 TNT 具有硝基对称分布, 其分解速度比非对称同分异构体的分解要慢得多^[2]。Maksimov 等^[3]研究了 TNT 的热分解气体产物, 认为 TNT 在吸热过程中, 发生自身的催化作用, 产生的气体产物主要是 2,4,6-三硝基苯甲醛和 4,6-二硝基蒽酚。Swanson 等^[4]用电子自旋共振谱(ESR)监测了 TNT 分解过程, 记录了 240°C 时分解的谱图, 分析了纯 TNT 的分解途径。Shackelford 等^[5]用氘同位素示踪法阐述了 TNT 的缓慢分解过程, 认为决定 TNT 的热分解速度的关键步骤是甲基中 C-H 键的断裂, 其主要分解产物是 1,3,5-三硝基苯。鉴于诸作者对 TNT 的分解过程有不同的解释, 本文在高纯氮气和等速升温(10°C/min)环境条件下, 用 TG-FTIR 技术对 TNT 的热分解过程进行了监测, 确定了热分解气体产物的组成, 并结合 TG-DTG 数据的分析, 验证了 Shackelford 的看法。

2 实验部分

2.1 样品

粉末状 TNT(丙酮重结晶), 其熔点 81°C。

2.2 仪器及实验条件

热重仪(TG)为 TA951, 升温速度为 10°C/min, 接口温度 200°C, 载气为高纯氮气, 流速

120ml/min; FTIR光谱仪为Nicolet710,分辨率 4cm^{-1} ;气体池温度保持200℃。

3 实验结果和讨论

3.1 TG分析结果

将20.07mg TNT粉末在TG的天平上以 $10^\circ\text{C}/\text{min}$ 的升温速度加热,所得的TG和DTG曲线见图1。

由图1可见TNT在 137°C 开始分解,在 240°C 时分解完毕,残余量1.18%是炭黑;在 224.16°C 时达到最大分解速度 $26.57\%/\text{min}$ 。根据DTG曲线分析,TNT在分解的起始阶段分解较慢,随着温度升高,分解速度逐渐加快,DTG曲线斜率变大,在 224.16°C 时分解速度达到最大。

3.2 重建色谱分析结果

TNT的热分解气体实时监测是用FTIR进行的,根据TNT可能的热分解产物及其对应的红外吸收范围,分段设置四个窗口: $3500\sim3200\text{cm}^{-1}$; $3000\sim2800\text{cm}^{-1}$; $2200\sim2000\text{cm}^{-1}$ 和 $1800\sim1100\text{cm}^{-1}$,得到TNT热解气体的化学图,其横坐标为吸收峰的保留时间。将化学图用Gram-Schmidt正交化矢量法计算,得到TNT热解释放气体的重建色谱图(见图2),横坐标代表保留时间(min)和数据点,每一个数据点中有一张干涉图的存储数据。其重建色谱图的趋势与DTG曲线一致,说明热解气体的浓度与TNT的分解速度一致,根据气体产物的浓度变化规律可以推测TNT的热分解过程。

3.3 IR光谱分析结果

从对应于重建色谱图中的干涉图数据内取出相应组分的存储数据,得到每个热解组分的IR谱图,如图3所示。

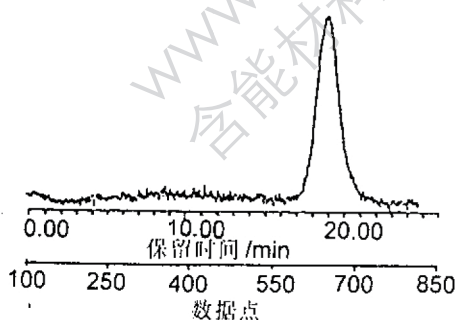


图2 TNT热分解气体产物重建色谱图

Fig.2 CSR spectrum of gases from TNT thermal decomposition

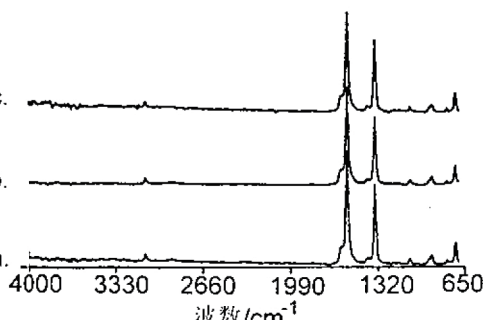


图3 TNT的热分解气体的红外谱图

Fig.3 IR spectrum of gases from TNT thermal decomposition

a. TNT P613/17.64min; b. TNT P668/18.86min;

c. TNT P687/19.52min.

图中 a、b、c 分别代表 TNT 在热解开始时, 反应速度最快时以及分解即将完成时的气体产物的 IR 谱。三张 IR 谱一致, 经过谱图解析得知 1650cm^{-1} 处和 1340cm^{-1} 处的吸收是 $-\text{NO}_2$ 的对称伸缩振动, $900\sim 700\text{cm}^{-1}$ 的一组吸收峰是 1,3,5-三取代苯环的特征吸收, 但未发现有甲基的吸收, 说明该分解气体为 1,3,5-三硝基苯, 表明 TNT 热解后的气体产物主要是 1,3,5-三硝基苯, 并有部分 CO_2 气体。

3.4 可能的热分解机理

由于在 TNT 分子中, 其苯环的三个间位上对称分布着三个硝基, 且硝基上有一对孤对电子与苯环形成大共轭体系, 分子中含有对称中心和对称面, 结构分布均匀, 因此, TNT 具有较强的稳定性, 受热不易分解。由于 TNT 分子处在惰性气体保护的环境中, 分子不能受到外界环境的影响而产生氧化作用, 但 TNT 分子中含有多个硝基, 从而可以产生自身催化氧化。在 TNT 缓慢分解初期, TNT 分子中 $-\text{CH}_3$ 的 C-H 键产生破裂, 分子中生成具有稳定结构的苄基, 与苯环和硝基形成 p - π 和 π - π 共轭体系, 分子具有非常好的稳定性, 且 TNT 分子中 $-\text{CH}_3$ 的 C-H 键的断裂是决定分解反应速度的关键一步。根据最终气体产物是 1,3,5-三硝基苯, 推测 TNT 分子的分解有两种方式, 如图 4 所示。

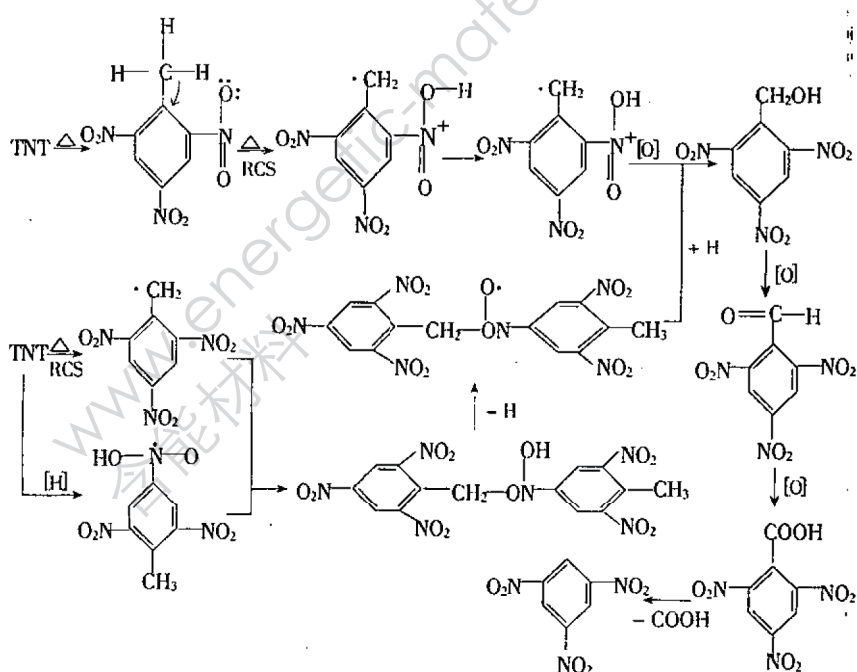


图 4 TNT 可能的热分解机理

RCS——速度控制步骤 [O]——硝基的氧化作用

Fig. 4 Possible mechanism of TNT thermal decomposition process

RCS——rate control step [O]——oxidation of nitro-group

4 结 论

FTIR 分析确证 TNT 最终分解气体产物为 1,3,5-三硝基苯和 CO₂ 的实验事实, 以及 TG 和 DTG 数据的分析, 表明 TNT 在缓慢热化学分解过程中, 首先产生 TNT 表面分子的裂解, 反应速度较慢, 当温度为 224.16℃时, TNT 产生内核分解反应, 反应速度达到最大。我们推测 TNT 热分解的可能机理为: TNT 分子经慢速加热, 受热吸收能量后, 甲基中 C-H 键发生断裂而生成自由基, 经过 TNT 分子中 -NO₂ 的自身催化氧化作用, TNT 分子产生的苯基自身氧化而生成 2,4,6-三硝基苯甲醛, 进一步氧化生成 2,4,6-三硝基苯甲酸, 受热脱羧释放出 CO₂, 最后的分解产物为 1,3,5-三硝基苯(如图 4 所示)。这与 Shackelford 用同位素示踪法研究 TNT 分子缓慢热化学分解的结论一致。

参 考 文 献

- 1 Issa R M, et al. Egypt. J. Chem., 1981, 24(1-3): 39~46
- 2 安德列耶夫著. 炸药的热分解. 石秀发译. 北京: 国防工业出版社, 1979.
- 3 Maksimov Y Y, et al. Tr. Mosk. Khim.-Tekhnol. Inst., 1974, 83: 54~59
- 4 Swanson J T, et al. Magn. Reson. Chem., 1986, 24: 762~767
- 5 Shackelford S A. FJSRL-TR-89-0010

INVESTIGATION ON THE THERMAL DECOMPOSITION BEHAVIOR OF TNT BY TG-FTIR

Wang Xiaochuan Wang Lin Xu Xuexia Jiang Yan Zhao Lin
(Institute of Chemical Materials, CAEP, Chengdu 610003)

ABSTRACT The thermal decomposition behavior of TNT was investigated in pure N₂ with constant rate-controlled heating. By means of TG-FTIR, the evolved gases, mainly 1,3,5-trinitrobenzene and CO₂, were determined. The results show that the thermal decomposition process of TNT and its mechanism conform to the conclusion reported by Shackelford.

KEYWORDS Gram-schmidt reconstruction (GSR), TG-FTIR, thermal decomposition, TNT.